

**IEE352 - Procesamiento Digital de Señales**

# **Clase 08: Diseño de Filtros Digitales 2**

**Dr. Marco A. Milla**

**Sección Electricidad y Electrónica (SEE)**

**Pontificia Universidad Católica del Perú (PUCP)**

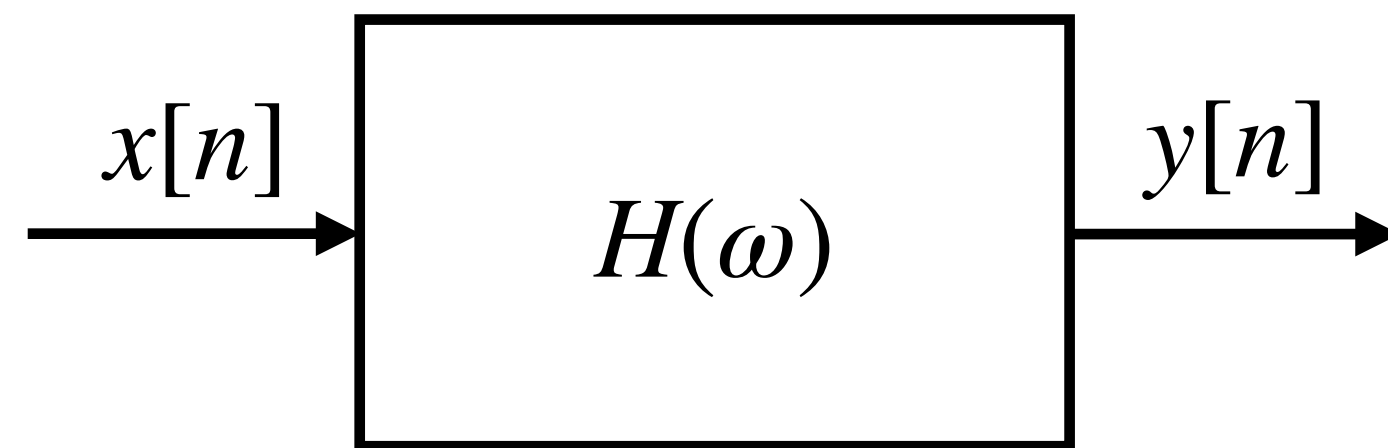
**email: [milla.ma@pucp.edu.pe](mailto:milla.ma@pucp.edu.pe)**

# Sistemas de Fase Lineal Generalizada

# Sistemas de Fase Lineal Generalizada

## Introducción

Respuesta en frecuencia de un sistema



$$y[n] = h[n] * x[n]$$

$$Y(\omega) = H(\omega) X(\omega)$$

Un sistema LTI puede generar distorsión en magnitud o distorsión en fase.

$$\text{Magnitud: } |Y(e^{j\omega})| = |H(e^{j\omega})| |X(e^{j\omega})|$$

$$\text{Fase: } \angle Y(e^{j\omega}) = \angle H(e^{j\omega}) + \angle X(e^{j\omega})$$

En diferentes aplicaciones es aceptable diseñar sistemas con distorsión lineal en fase.

Fase lineal  $\implies$  Retardo de la señal

# Sistemas de Fase Lineal Generalizada

## Retardo de Grupo

Dado un sistema  $H(\omega)$ , el retardo de grupo se define de la siguiente forma:

$$\tau(\omega) = -\frac{d}{d\omega}\angle H(\omega) ,$$

donde  $\tau(\omega)$  se puede interpretar como el número de muestras retardadas.

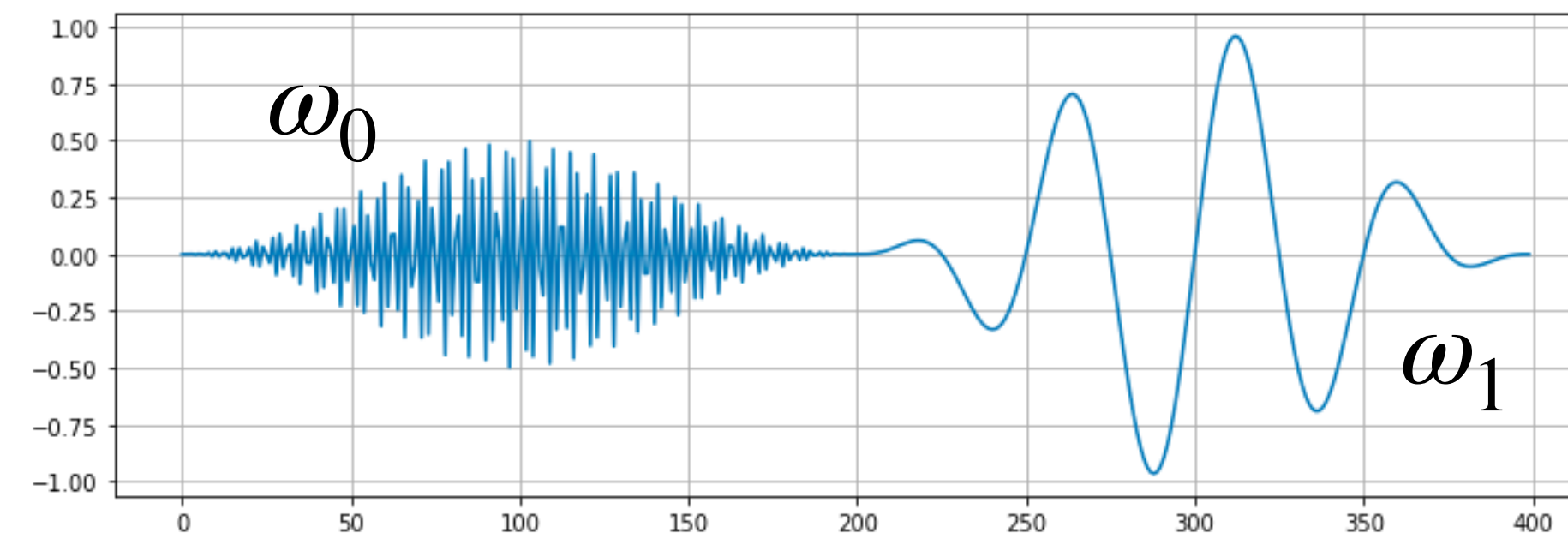
Si  $\tau(\omega)$  es constante, es decir si  $\angle H(\omega)$  es lineal, implica que todas las componentes frecuenciales de una señal de entrada  $x[n]$  van a experimentar el mismo retardo  $\tau$ .

Si  $\tau(\omega)$  no es constante, es decir si  $\angle H(\omega)$  no es lineal, las componentes de una señal pueden desordenarse a la salida de  $H(\omega)$  generando efectos no deseados.

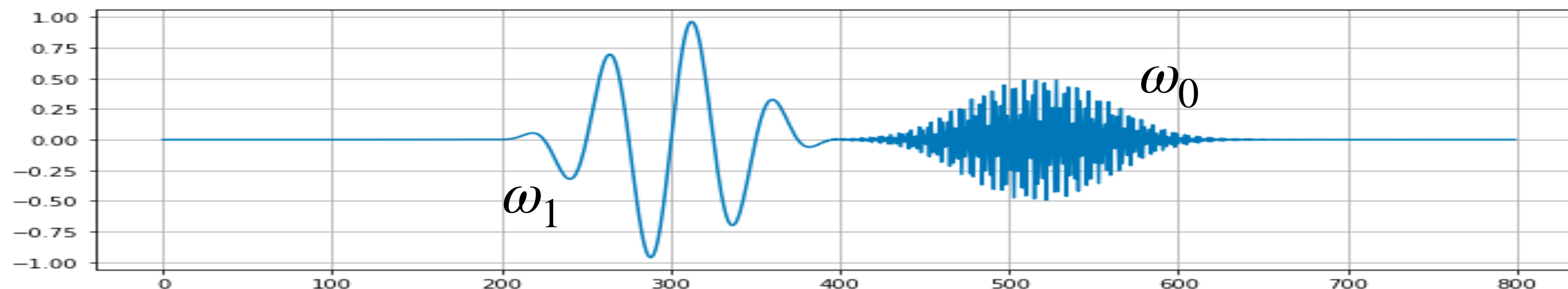
# Sistemas de Fase Lineal Generalizada

## Retardo de Grupo - Ejemplo

Consideremos dos señales una con frecuencias  $\omega_0$  y  $\omega_1$ , tal que  $\omega_0 > \omega_1$ .



La señal es filtrada por  $H(\omega)$  con magnitud constante y fase proporcional a  $\omega^3$ , es decir  $\angle H(\omega) = -K\omega^3$ . Podemos encontrar que para ciertos valores de  $K$ , la señal con frecuencia  $\omega_0$  se retarda mucho más que la señal con frecuencia  $\omega_1$ .



Efecto no deseado, la señal se distorsiona, la información llega de forma desordenada.

# Sistemas de Fase Lineal Generalizada

## Sistema con Fase Lineal

En general un sistema con fase lineal se define de la siguiente forma

$$H(\omega) = |H(\omega)| e^{-j\omega\alpha}, \quad \alpha \in \mathbb{R}.$$

Ejemplo: Sea el filtro pasabajos ideal con retardo,

$$H_{PB}(\omega) = \begin{cases} e^{-j\omega\alpha}, & |\omega| < \omega_c, \\ 0, & \omega_c < |\omega| \leq \pi, \end{cases}$$

donde  $\alpha \in \mathbb{R}$ , tenemos que  $h_{PB}[n] = \frac{\sin(\omega_c(n - \alpha))}{\pi(n - \alpha)}$ .

Si  $\omega_c = \pi$  y  $\alpha = n_d$ , es decir si  $\alpha \in \mathbb{Z}$ , tenemos que

$$h_{PB}[n] = \delta[n - n_d] \quad \text{retardo ideal.}$$

# Sistemas de Fase Lineal Generalizada

## Sistema con Fase Lineal

En el caso del filtro ideal pasabajos, si  $\alpha \in \mathbb{Z}$  ( $\alpha = n_d$ ) tenemos que  $h_{PB}[n]$  es simétrica alrededor de  $n_d$ , es decir

$$h_{PB}[n + n_d] = h_{PB}[n_d - n].$$

Aplicando un cambio de variables también se cumple que

$$h_{PB}[2n_d - n] = h_{PB}[n],$$

Demostración:

$$\begin{aligned} h_{PB}[2n_d - n] &= \frac{\omega_c}{\pi} \text{sinc} \left( \omega_c(2n_d - n - n_d) \right) \\ &= \frac{\omega_c}{\pi} \text{sinc} \left( \omega_c(n_d - n) \right) = \frac{\omega_c}{\pi} \text{sinc} \left( \omega_c(n - n_d) \right) \\ &= h_{PB}[n]. \end{aligned}$$



# Sistemas de Fase Lineal Generalizada

## Sistema con Fase Lineal

Notar que en el sistema ideal pasabajos con fase cero

$$\hat{H}_{PB}(\omega) = H_{PB}(\omega)e^{j\omega\alpha} = |H_{PB}(\omega)| ,$$

se cumple con lo siguiente

$$\hat{h}_{PB}[n] = \frac{\sin(\omega_c n)}{\pi n} = \hat{h}_{PB}[-n] .$$

También podemos demostrar que si  $2\alpha$  es entero, entonces

$$h_{PB}[2\alpha - n] = h_{PB}[n] .$$

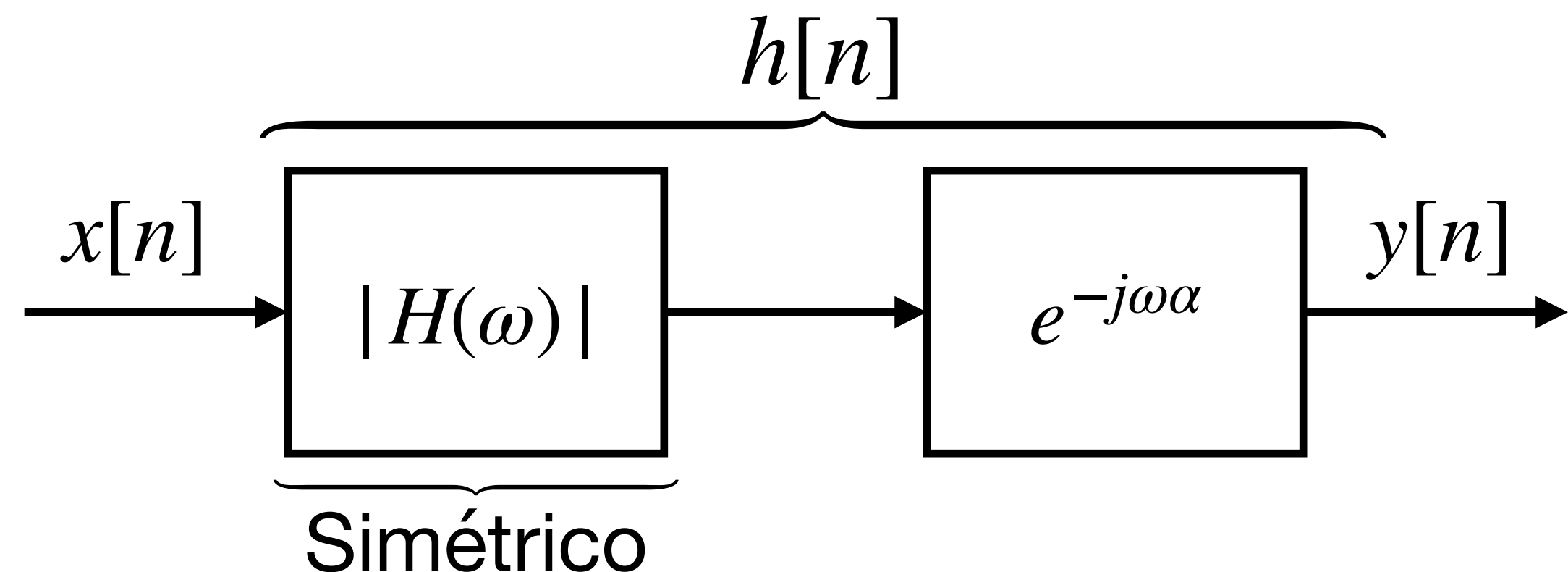


# Sistemas de Fase Lineal Generalizada

## Sistema con Fase Lineal

Generalizando, dado un sistema de fase lineal con magnitud  $|H(\omega)|$  simétrica, si  $2\alpha \in \mathbb{Z}$ , se puede demostrar que  $h[n]$  es simétrica alrededor de  $\alpha$ , tal que,

$$h[2\alpha - n] = h[n].$$



$$\alpha = n_d \text{ o } \alpha = n_d + \frac{1}{2}.$$

Nota: Si  $2\alpha \notin \mathbb{Z} \implies h[n]$  no tiene simetría. Sin embargo, la fase es lineal (retardo de grupo constante).

# Sistemas de Fase Lineal Generalizada

## Fase lineal generalizada

Un sistema de fase lineal generalizada se define de la siguiente forma,

$$H(\omega) = A(\omega)e^{-j\omega\alpha+j\beta},$$

donde  $\alpha, \beta \in \mathbb{R}$  son constantes y  $A(\omega)$  es una función real (valores positivos o negativos).

Nota:  $\angle H(\omega) = \beta - \omega \alpha +$  discontinuidades en  $0$  o  $\pi$ .

$$\implies \tau(\omega) = -\frac{d}{d\omega}\angle H(\omega) = +\alpha \text{ (ignorando las discontinuidades)}.$$

Si el retardo de grupo  $\tau(\omega)$  es constante  $\implies$  el sistema es de fase lineal generalizada.

# Sistemas de Fase Lineal Generalizada

## Fase lineal generalizada

Ejemplo: Sea el filtro rectangular,

$$h[n] = \begin{cases} 1, & 0 \leq n \leq N-1, \\ 0, & n < 0, n \geq N. \end{cases}$$

Tiene la siguiente respuesta en frecuencia,

$$\begin{aligned} H(\omega) &= \sum_{n=0}^{N-1} e^{-j\omega n} = \frac{1 - e^{-j\omega N}}{1 - e^{-j\omega}} \\ &= \frac{e^{-j\omega N/2} (e^{j\omega N/2} - e^{-j\omega N/2})}{e^{-j\omega/2} (e^{j\omega/2} - e^{-j\omega/2})} = \underbrace{\frac{\sin(\omega N/2)}{\sin(\omega/2)}}_{A(\omega)} e^{-j\omega \underbrace{\frac{N-1}{2}}_{\alpha} + \underbrace{0}_{\beta}} \end{aligned}$$

$\alpha = \frac{N-1}{2} \text{ y } \beta = 0$

# Sistemas de Fase Lineal Generalizada

## Relación entre $h[n]$ , $\alpha$ y $\beta$

Dados,

$$H(\omega) = A(\omega)e^{-j\omega\alpha+j\beta} = A(\omega) \cos(\beta - \omega\alpha) + jA(\omega) \sin(\beta - \omega\alpha) ,$$

$$H(\omega) = \sum_n h[n]e^{-j\omega n} = \sum_n h[n]\cos(\omega n) - j \sum_n h[n]\sin(\omega n) .$$

Combinando ambas expresiones tenemos que

$$\tan(\angle H(\omega)) = \tan(\beta - \omega\alpha) \implies \frac{-\sum_n h[n]\sin(\omega n)}{\sum_n h[n]\cos(\omega n)} = \frac{\sin(\beta - \omega\alpha)}{\cos(\beta - \omega\alpha)} ,$$

$$\sum_n h[n]\cos(\omega n)\sin(\beta - \omega\alpha) + \sum_n h[n]\sin(\omega n)\cos(\beta - \omega\alpha) = 0$$

$$\implies \sum_n h[n]\sin(\omega(n - \alpha) + \beta) = 0, \quad \forall \omega, \quad \text{condición necesaria para fase lineal generalizada.}$$

# Sistemas de Fase Lineal Generalizada

## Relación entre $h[n]$ , $\alpha$ y $\beta$ - Algunos sets de condiciones

- Si  $\beta = 0, \pi$  y  $2\alpha = M$  es un entero,

$$\sum_{n=-\infty}^{\infty} h[n] \sin(\omega(n - \alpha)) = 0,$$

$$\implies h[2\alpha - n] = h[n] \text{ (simétrico alrededor de } \alpha \text{)}.$$

- Si  $\beta = \frac{\pi}{2}, \frac{3\pi}{2}$  y  $2\alpha = M$  es un entero, entonces

$$\sum_{n=-\infty}^{\infty} h[n] \cos(\omega(n - \alpha)) = 0,$$

$$\implies h[2\alpha - n] = -h[n] \text{ (antisimétrico alrededor de } \alpha \text{)}.$$

# Sistemas de Fase Lineal Generalizada

## Relación entre $h[n]$ , $\alpha$ y $\beta$ - Ejemplo

Si  $\beta = 0, \pi$  y  $\alpha = n_d \in \mathbb{Z}$ , entonces  $\sum_{n=-\infty}^{\infty} h[n] \sin(\omega(n - n_d)) = \sum_{n=-\infty}^{\infty} h[n + n_d] \sin(\omega n) = 0$ ,

Descomponiendo la sumatoria tenemos

$$\sum_{n=-\infty}^{-1} h[n + n_d] \sin(\omega n) + h[n_d] \sin(0) + \sum_{n=1}^{\infty} h[n + n_d] \sin(\omega n) = 0,$$
$$\sum_{n=1}^{\infty} (h[n + n_d] - h[n_d - n]) \sin(\omega n) = \sum_{n=n_d+1}^{\infty} \underbrace{(h[n] - h[2n_d - n])}_{=0} \sin(\omega n) = 0,$$

$$\implies h[n] = h[2n_d - n].$$

Nota: Lo mismo se puede demostrar para  $\alpha = n_d + \frac{1}{2}$ .

# Sistemas de Fase Lineal Generalizada

## Sistemas Causales

Si el sistema de fase lineal generalizada es causal entonces

$$h[n] = 0, \quad n < 0,$$

aplicando la condición

$$\sum_n h[n] \sin(\omega(n - \alpha) + \beta) = 0, \quad \forall \omega \in \mathbb{R},$$

y las condiciones de simetría anteriores, tenemos que,

$$h[n] = 0, \quad n > M.$$

Nota: Los sistemas causales con fase lineal generalizada son de tipo FIR.



# Sistemas de Fase Lineal Generalizada

## Sistemas FIR Causales

- Si  $\beta = 0, \pi$

$$h[n] = \begin{cases} h[M - n], & 0 \leq n \leq M \\ 0, & n < 0, n > M, \end{cases}$$

$\implies H(\omega) = A_e(\omega)e^{-j\omega\frac{M}{2}}$ , donde  $A_e(\omega)$  es real y simétrico.

- Si  $\beta = \frac{\pi}{2}, \frac{3\pi}{2}$

$$h[n] = \begin{cases} -h[M - n], & 0 \leq n \leq M \\ 0, & n < 0, n > M, \end{cases}$$

$\implies H(\omega) = A_o(\omega)e^{-j\omega\frac{M}{2}+j\frac{\pi}{2}}$ , donde  $A_o(\omega)$  es real y antisimétrico.

# Sistemas de Fase Lineal Generalizada

## Sistemas FIR Causales - Tipos I y II

Dado  $h[n] = h[M - n]$ ,  $0 \leq n \leq M$ , (respuesta impulsiva simétrica)

- Tipo I:  $M$  par,  $M + 1$  coeficientes,  $M/2 + 1$  coeficientes independientes,

$$H(\omega) = \left( \sum_{k=0}^{M/2} a[k] \cos(\omega k) \right) e^{-j\omega \frac{M}{2}}$$

donde  $a[0] = h[M/2]$  y  $a[k] = 2h[M/2 - k]$  para  $k = 1, \dots, M/2$ .

- Tipo II:  $M$  impar,  $M + 1$  coeficientes,  $(M + 1)/2$  coeficientes independientes,

$$H(\omega) = \left( \sum_{k=1}^{(M+1)/2} b[k] \cos \left( \omega \left( k - \frac{1}{2} \right) \right) \right) e^{-j\omega \frac{M}{2}}$$

donde  $b[k] = 2h[(M + 1)/2 - k]$  para  $k = 1, \dots, (M + 1)/2$ .

# Sistemas de Fase Lineal Generalizada

## Sistemas FIR Causales - Tipos III y IV

Dado  $h[n] = -h[M - n]$ ,  $0 \leq n \leq M$ , (respuesta impulsiva antisimétrica)

- Tipo III:  $M$  par,  $M + 1$  coeficientes,  $M/2$  coeficientes independientes,

$$H(\omega) = \left( \sum_{k=0}^{M/2} c[k] \sin(\omega k) \right) e^{-j\omega \frac{M}{2} + j\frac{\pi}{2}}$$

donde  $h[M/2] = 0$  y  $c[k] = 2h[M/2 - k]$  para  $k = 1, \dots, M/2$ .

- Tipo IV:  $M$  impar,  $M + 1$  coeficientes,  $(M + 1)/2$  coeficientes independientes,

$$H(\omega) = \left( \sum_{k=1}^{(M+1)/2} d[k] \sin \left( \omega \left( k - \frac{1}{2} \right) \right) \right) e^{-j\omega \frac{M}{2} + j\frac{\pi}{2}}$$

donde  $d[k] = 2h[(M + 1)/2 - k]$  para  $k = 1, \dots, (M + 1)/2$ .

# Sistemas de Fase Lineal Generalizada

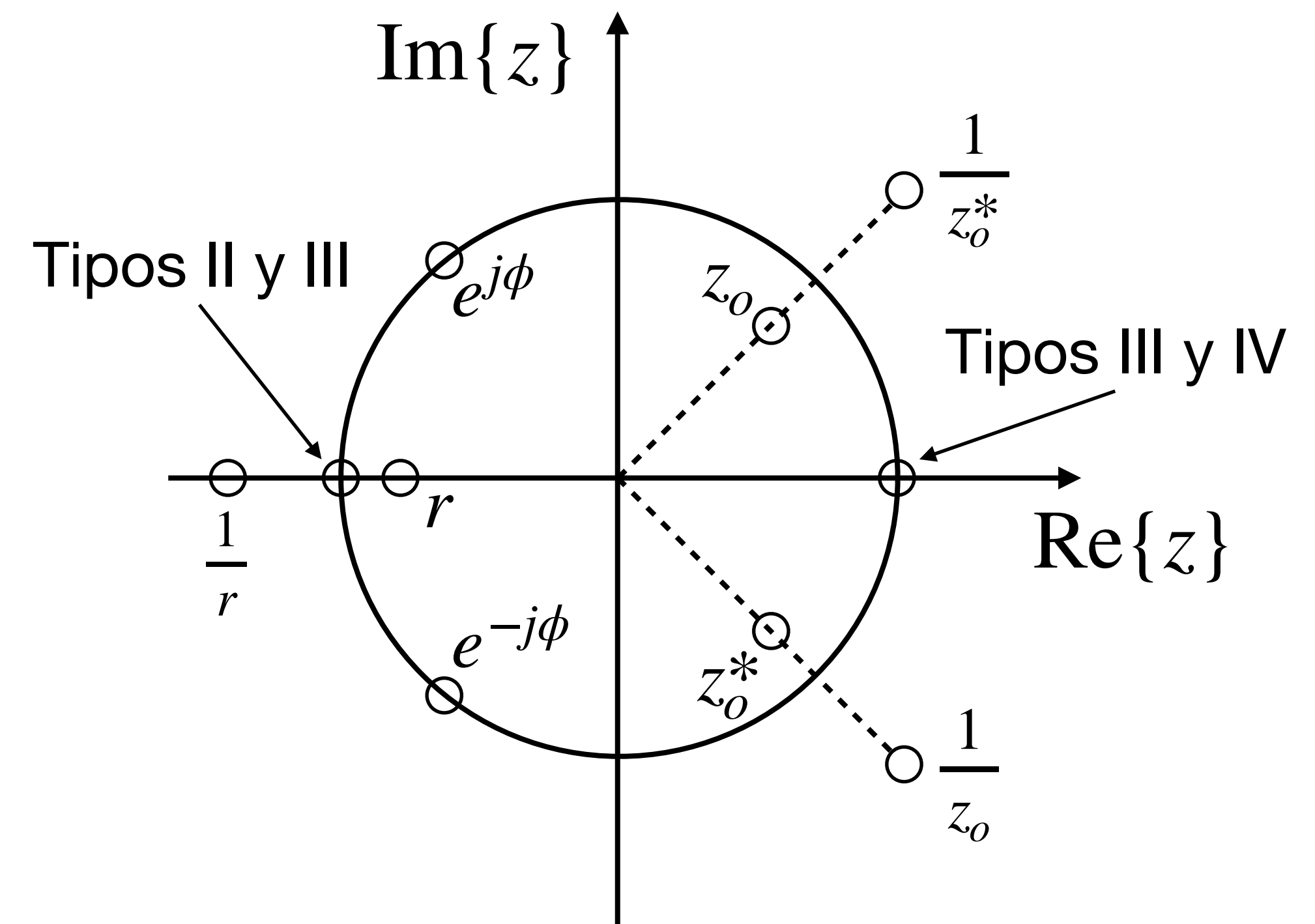
## Sistemas FIR Tipos I-IV - Ubicación de ceros

### Filtros Tipo I y II:

- Si  $h[n] = h[M - n]$  entonces  $H(z) = z^{-M}H(z^{-1})$ .
- Ceros recíprocos y conjugados: Si  $z_o = \rho e^{j\phi}$  es un cero, entonces  $1/z_o = \frac{1}{\rho}e^{-j\phi}$  también es un cero, además si  $h[n]$  es real entonces  $z_o^* = \rho e^{-j\phi}$  y  $1/z_o^* = \frac{1}{\rho}e^{j\phi}$  también son ceros.
- Si  $M$  es impar (tipo II) entonces  $z = -1$  es un cero.

### Filtros Tipos III y IV:

- Si  $h[n] = -h[M - n]$ , entonces  $H(z) = -z^{-M}H(z^{-1})$
- Ceros recíprocos y conjugados en  $z_o$ ,  $1/z_o$ ,  $z_o^*$  y  $1/z_o^*$ .
- En ambos casos,  $M$  par o impar, se tiene un cero en  $z = 1$ .
- Si  $M$  es par (tipo III) entonces  $z = -1$  es un cero.



# Sistemas de Fase Lineal Generalizada

## Estructuras para Sistemas FIR Tipos I-IV

- Tipo I:  $M$  par,  $h[n]$  simétrico,  $M/2 + 1$  coeficientes.

$$y[n] = \sum_{k=0}^{M/2-1} h[k] \left( x[n-k] + x[n-M+k] \right) + h\left[\frac{M}{2}\right] x\left[n-\frac{M}{2}\right]$$

- Tipo II:  $M$  impar,  $h[n]$  simétrico,  $(M+1)/2$  coeficientes.

$$y[n] = \sum_{k=0}^{(M-1)/2} h[k] \left( x[n-k] + x[n-M+k] \right) .$$

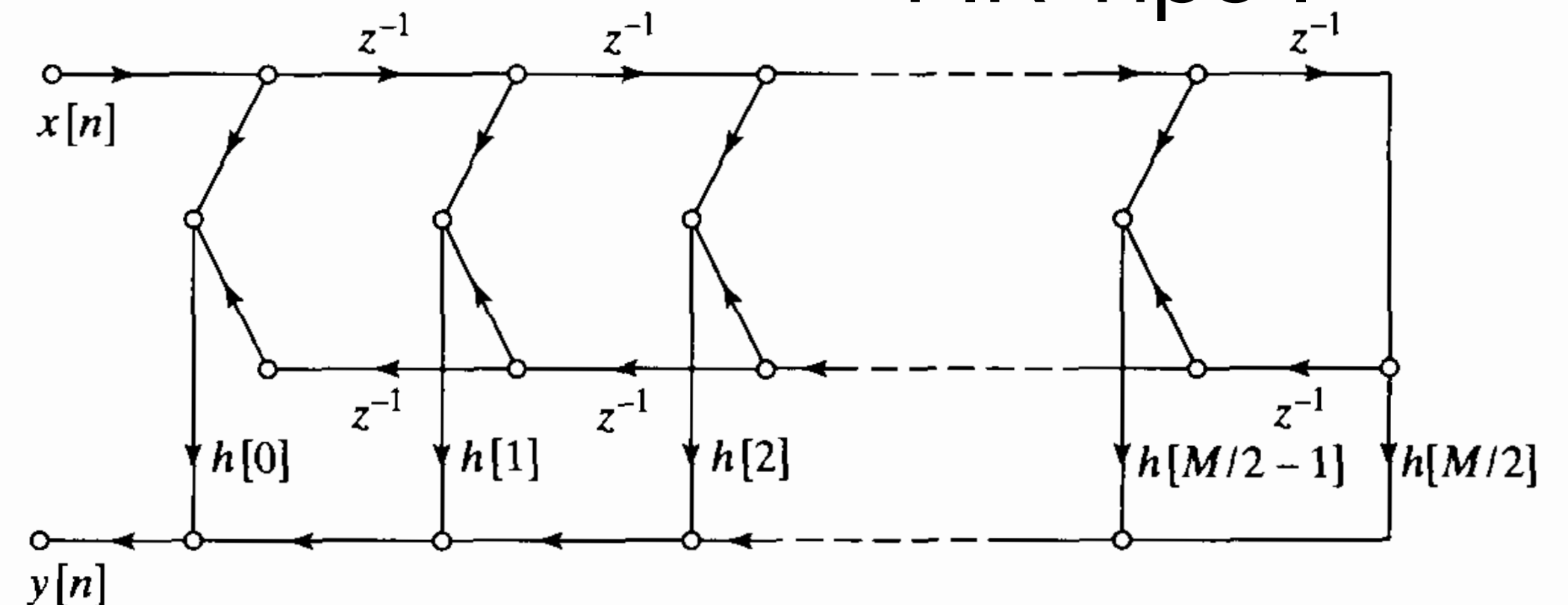
- Tipo III:  $M$  par,  $h[n]$  antisimétrico,  $M/2$  coeficientes.

$$y[n] = \sum_{k=0}^{M/2-1} h[k] \left( x[n-k] - x[n-M+k] \right) .$$

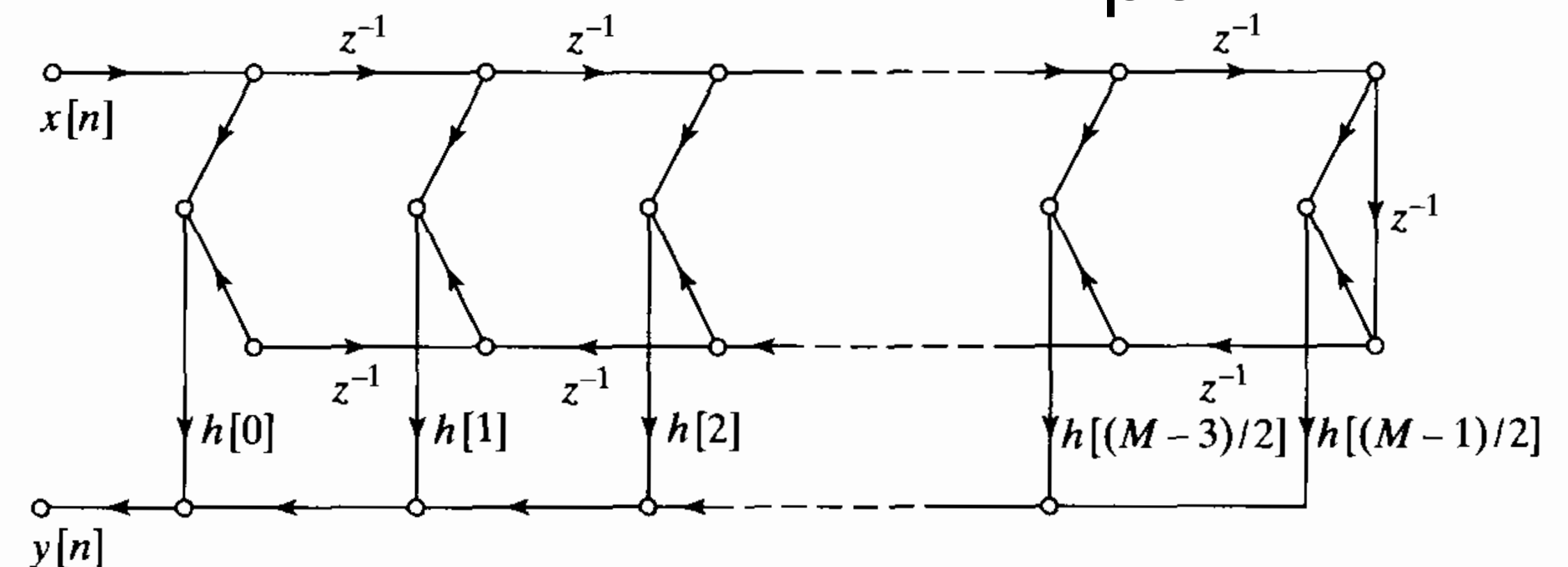
- Tipo IV:  $M$  impar,  $h[n]$  antisimétrico,  $(M+1)/2$  coeficientes.

$$y[n] = \sum_{k=0}^{(M-1)/2} h[k] \left( x[n-k] - x[n-M+k] \right) .$$

FIR Tipo I



FIR Tipo II



# Diseño de Filtros IIR

# Diseño de Filtros IIR

## Introducción

Dada la respuesta en frecuencia deseada  $H_d(\omega)$  o la respuesta impulsiva deseada  $h_d[n]$  encontrar la mejor aproximación

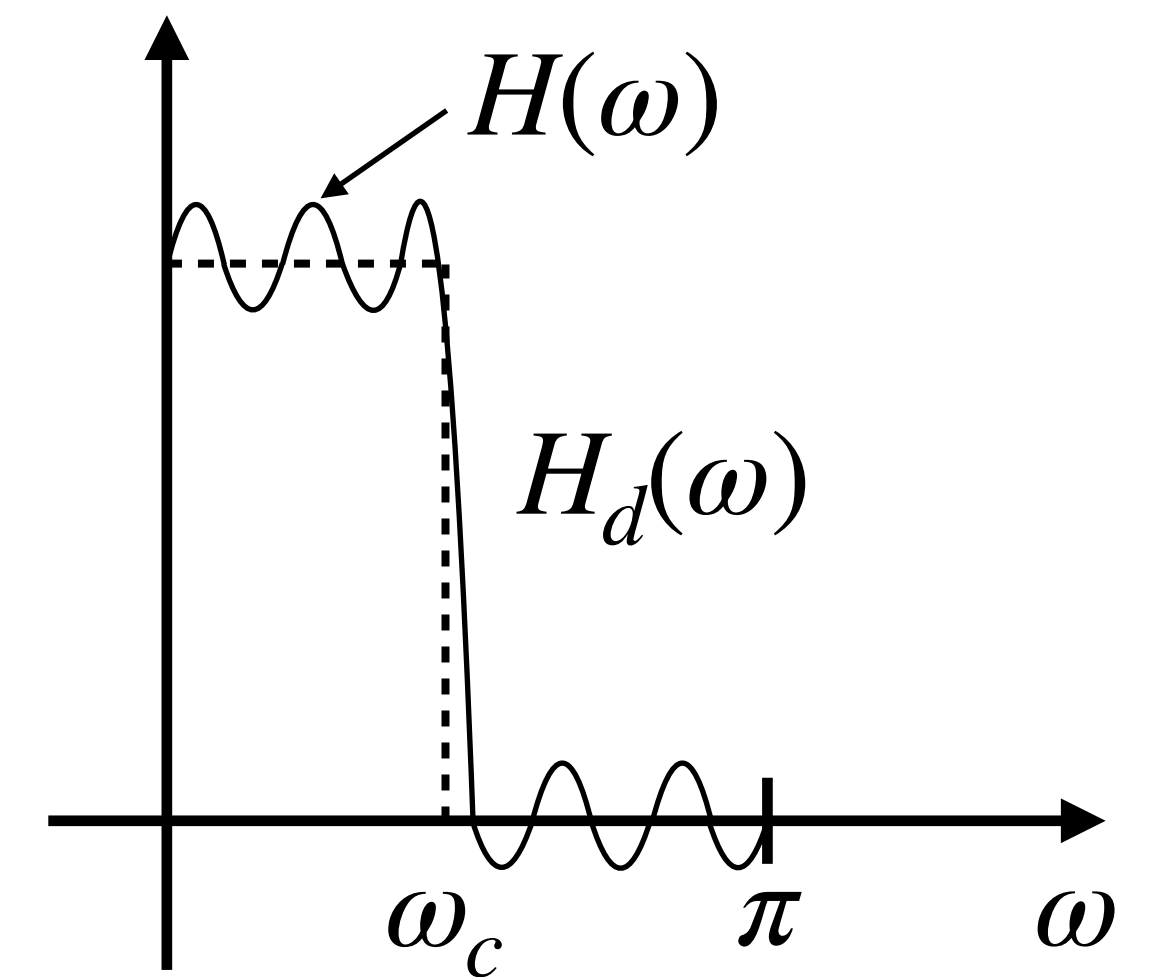
$$H(\omega) \rightarrow H_d(\omega) .$$

Diseño de filtros IIR (respuesta impulsiva infinita) utilizando ecuaciones de diferencias tal que

$$H(z) = \frac{\sum_{k=0}^M b_k z^{-k}}{1 + \sum_{k=1}^N a_k z^{-k}} = \frac{B(z)}{A(z)} \quad (M + N + 1 \text{ parámetros})$$

Ventaja: Computacionalmente eficiente.

Desventajas: No son simples de diseñar, no siempre son estables, si son causales y estables no tienen fase lineal.





# Diseño de Filtros IIR

## Transformación del plano-S al plano-Z

- Las técnicas más comunes empleadas se basan en la conversión de filtros analógicos (tiempo-continuo) en filtros discretos tipo IIR.
- Para ello se aplica una función de transformación  $s = f(z)$  que mapea el plano-S al plano-Z, para lo cual se debe cumplir con las siguientes condiciones.
  - Un filtro  $H_c(s)$  racional (fracción de polinomios en  $S$ ) debe ser mapeado a un filtro  $H(z)$  racional (fracción de polinomios en  $Z$ ).
  - El eje imaginario del plano-S es mapeado al círculo unitario del plano-Z
$$\{s = j\Omega \mid -\infty < \Omega < \infty\} \longrightarrow \{z = e^{j\omega} \mid -\pi < \omega < \pi\}.$$
  - El lado izquierdo del plano-S es mapeado al interior del círculo unitario del plano-Z
$$\{s \mid \mathbf{Re}\{s\} < 0\} \longrightarrow \{z \mid |z| < 1\}.$$
- Los métodos que vamos a revisar son: Impulso Invariante y Transformación Bilineal.

# Diseño de Filtros IIR

## Filtros analógicos

Idea: Utilizar las herramientas matemáticas existentes para diseñar filtros analógicos IIR.

Filtros analógicos en el dominio de la frecuencia:

\* Butterworth:  $|H(\Omega)|^2 = \frac{1}{1 + (\Omega/\Omega_p)^{2n}}$  (polos)

\* Chebyshev Tipo 1:  $|H(\Omega)|^2 = \frac{1}{1 + \varepsilon^2 T_n^2(\Omega/\Omega_p)}$  (polos)

\* Chebyshev Tipo 2:  $|H(\Omega)|^2 = \frac{1}{1 + \varepsilon^2 T_n^2(\Omega_r/\Omega_p)/T_n^2(\Omega_r/\Omega)}$  (ceros + polos)

\* Elíptico:  $|H(\Omega)|^2 = \frac{1}{1 + \varepsilon^2 U_n^2(\Omega/\Omega_p)}$  (ceros + polos)

# Diseño de Filtros IIR

## Impulso invariante

1. Construir  $H_c(\Omega)$  usando las técnicas de diseño de filtros para señales continuas.
2. Definir  $h[n] = h_c(nT)$  donde  $n \in \mathbb{Z}$  y  $T$  es el periodo de muestreo.
3. Expresar  $H_c(s)$  en fracciones parciales tal que

$$H_c(s) = \sum_{k=1}^K \frac{A_k}{s - s_k} \text{ lo cual implica } h_c(t) = \sum_{k=1}^K A_k e^{s_k t} u(t) .$$

Tomando muestras tenemos que  $h[n] = h_c(nT) = \sum_{k=1}^K A_k e^{s_k T n} u[n]$  , entonces

$$H(z) = \sum_{n=0}^{\infty} h[n] z^{-n} = \sum_{k=1}^K A_k \sum_{n=0}^{\infty} (e^{s_k T} z^{-1})^n = \sum_{k=1}^K \frac{A_k}{1 - e^{s_k T} z^{-1}} .$$

# Diseño de Filtros IIR

## Impulso invariante - Consideraciones

- Aliasing:

En general se pueden tener efectos de aliasing, por ello este método no es adecuado para el diseño de filtros pasa altos ya que  $H(\omega)$  va a estar aliased.

- Estabilidad:

$H_c(s)$  es estable si los polos  $s_k = \sigma_k + j\Omega_k$  tienen parte real negativa ( $\sigma_k < 0$ ).

Dado que los polos de  $H(z)$  estarían ubicados en  $z_k = e^{s_k T} = e^{\sigma_k T} e^{j\Omega_k T}$ ,

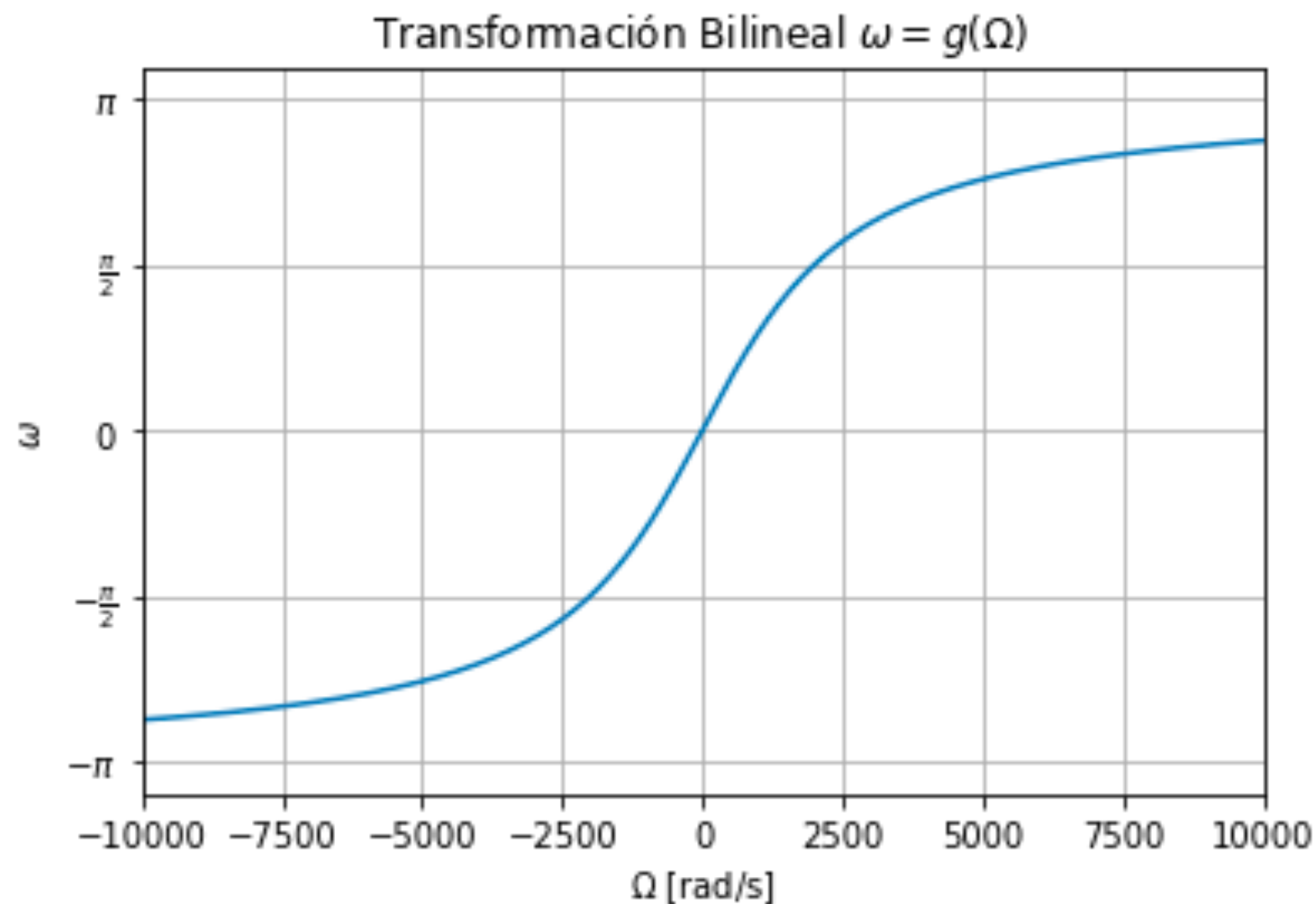
entonces, si  $\sigma_k < 0$  los polos tendrían magnitud menor que uno ( $|z_k| < 1$ ).

Por ende, si  $H_c(s)$  es estable, entonces  $H(z)$  también es estable.

# Diseño de Filtros IIR

## Transformación Bilineal

Transformación o mapeo no-lineal de la frecuencia continua  $\Omega$  a la frecuencia normalizada  $\omega$ .



$$\omega = g(\Omega)$$

Transformación algebraica  
entre el plano- $s$  y el plano- $z$ .

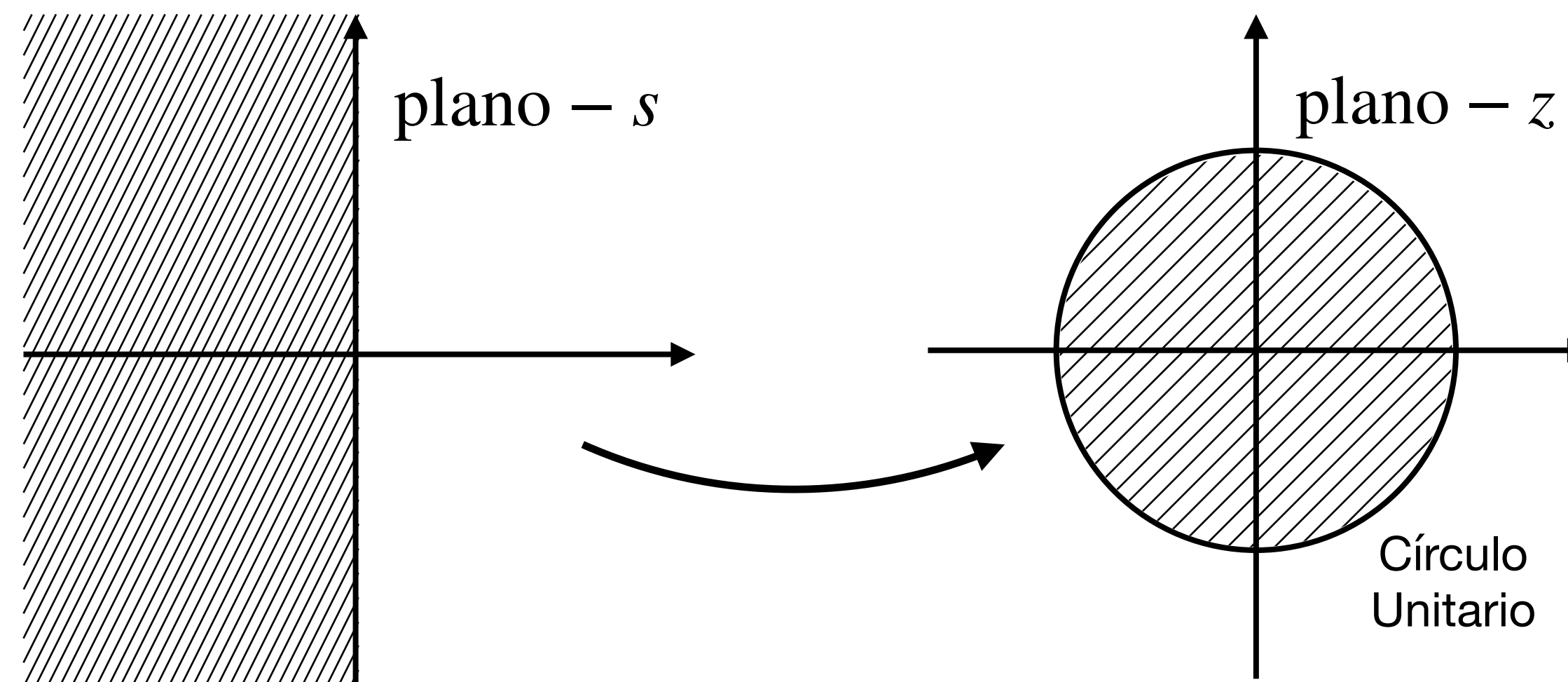
# Diseño de Filtros IIR

## Transformación Bilineal

Dado  $z = \frac{1 + s/\alpha}{1 - s/\alpha}$ , tenemos que  $s = \alpha \frac{z - 1}{z + 1}$ , donde  $\alpha$  es un parámetro de escala.

Considerando  $z = e^{j\omega}$ , tenemos que

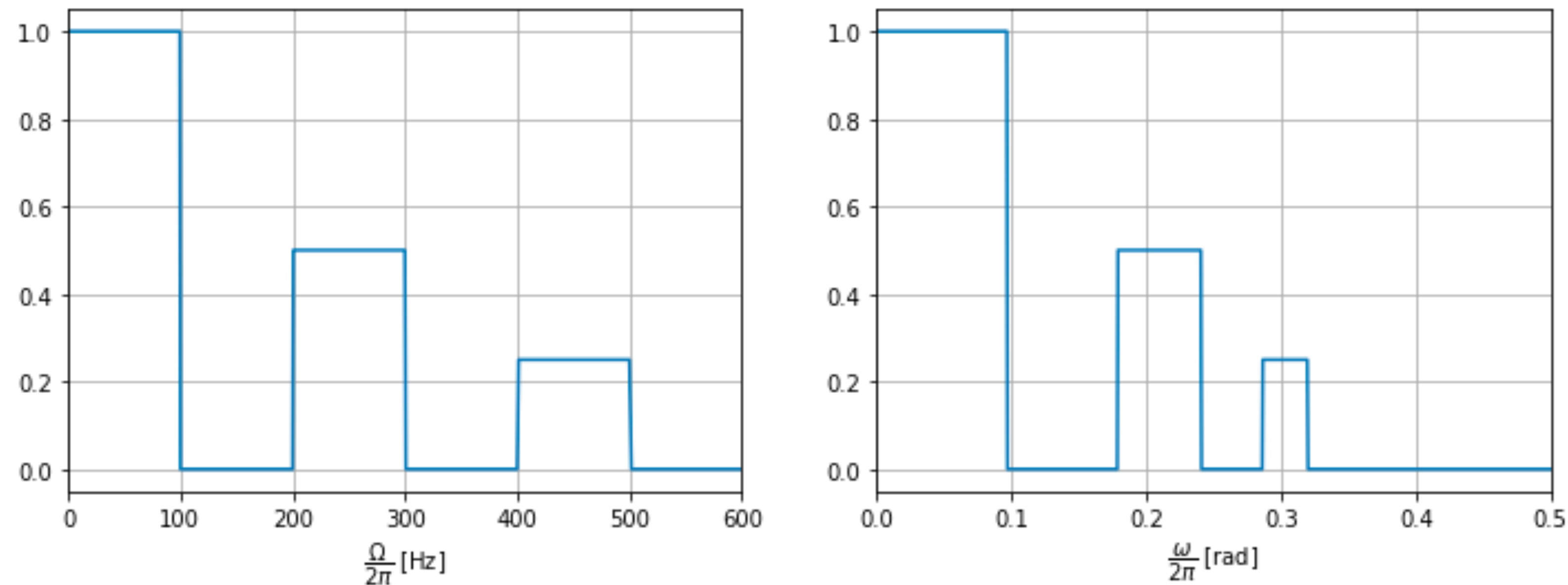
$$s = \alpha \frac{e^{j\omega} - 1}{e^{j\omega} + 1} = \alpha \frac{e^{j\omega/2} - e^{-j\omega/2}}{e^{j\omega/2} + e^{-j\omega/2}} = \alpha \frac{2j \sin(\omega/2)}{2 \cos(\omega/2)} \implies s = j \underbrace{\alpha \tan(\omega/2)}_{\Omega} \text{ luego } \omega = 2 \arctan \left( \frac{\Omega}{\alpha} \right).$$



# Diseño de Filtros IIR

## Transformación Bilineal - Ejemplos

Suma de filtros rectangulares.



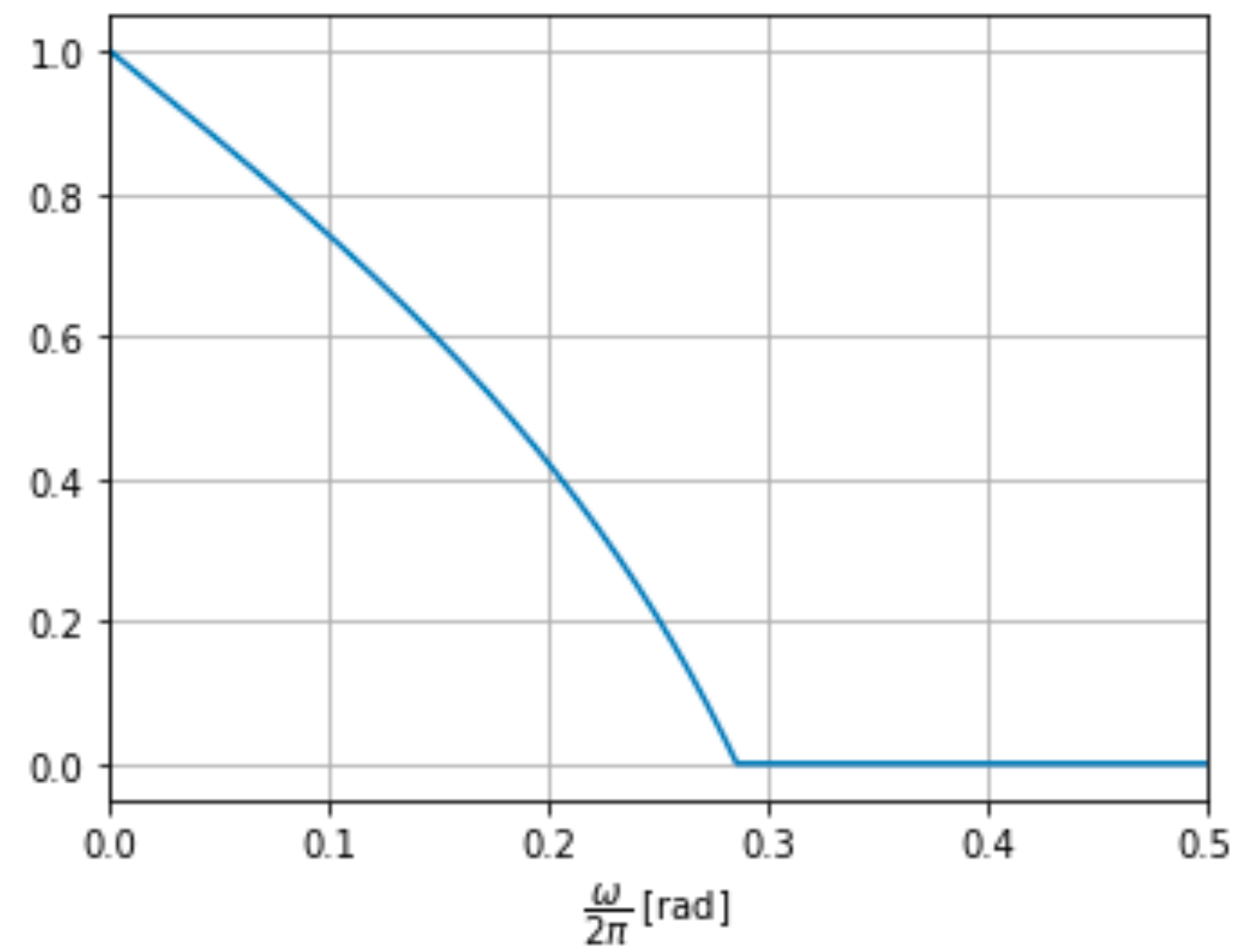
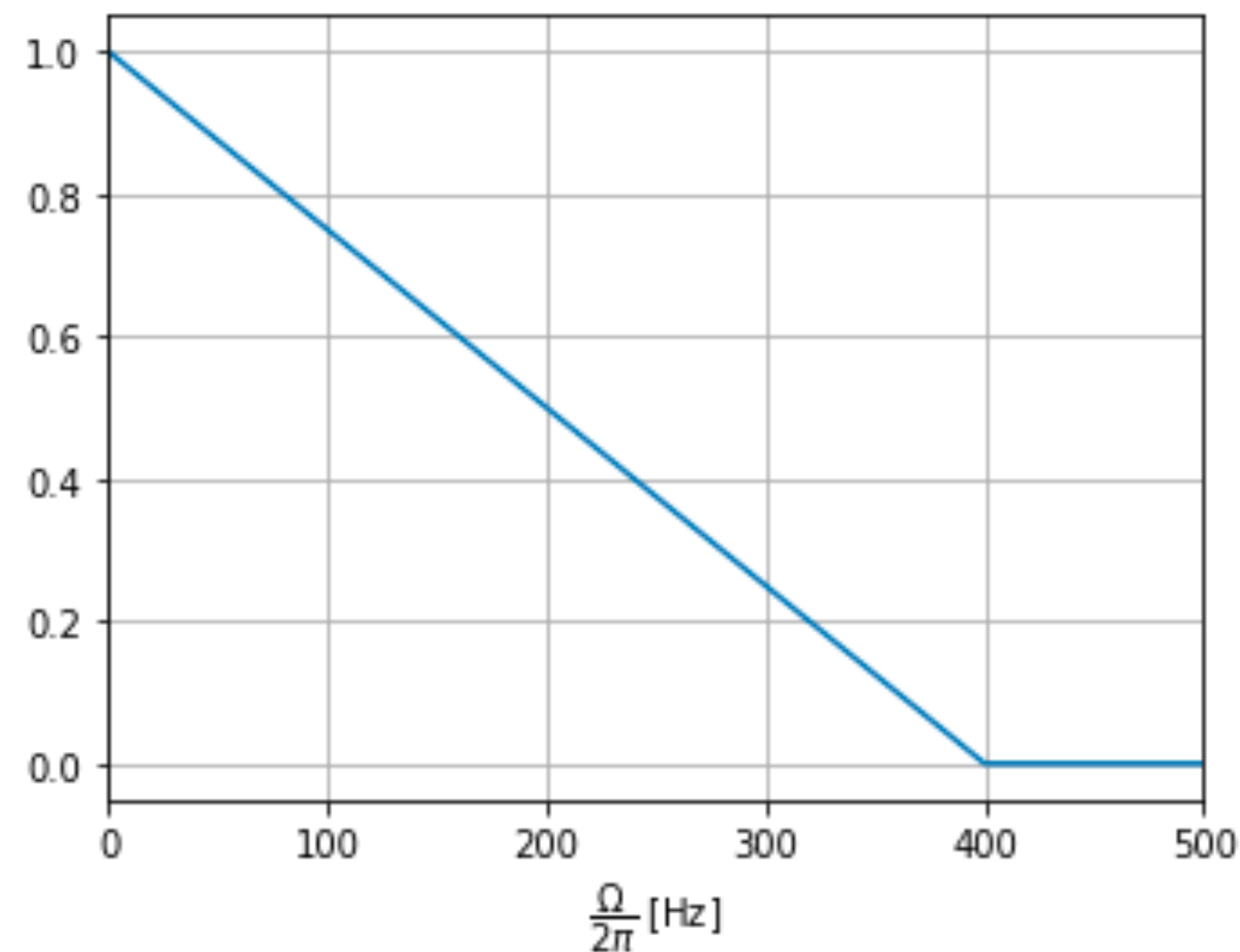
El ancho y ubicación de las frecuencias de corte varía de forma no-lineal de la frecuencia continua  $\Omega$  a la frecuencia discreta  $\omega$ .



# Diseño de Filtros IIR

## Transformación Bilineal - Ejemplos

Filtro triangular



La forma del filtro analógico es distorsionada debido a la transformación no-lineal de la frecuencia continua  $\Omega$  a la frecuencia discreta  $\omega$ .

# Diseño de Filtros IIR

## Transformación Bilineal - Filtros racionales

- Para diseñar el filtro se debe aplicar la siguiente transformación

$$H(z) = H_c(s) \Big|_{s=\alpha \frac{z-1}{z+1}} = H_c(s) \Big|_{s=\alpha \frac{1-z^{-1}}{1+z^{-1}}}.$$

- De este modo los polos (o ceros) de  $H_c(s)$  son transformados a polos (o ceros) de  $H(z)$ , de la siguiente forma

$$s - s_k = \frac{\alpha - s_k}{1 + z^{-1}} \left[ 1 - \frac{\alpha + s_k}{\alpha - s_k} z^{-1} \right],$$

es decir,

$$s_k \longrightarrow z_k = \frac{\alpha + s_k}{\alpha - s_k}, \text{ sin embargo, es posible que se añadan ceros en } z = -1.$$

# Diseño de Filtros IIR

## Transformación Bilineal - Método

Dado

$$H_c(s) = \beta_0 \frac{\prod_{k=1}^M (s - \zeta_k)}{\prod_{k=1}^N (s - s_k)},$$

aplicando la transformación bilineal tenemos que:

$$H_z(s) = G \frac{(1 + z^{-1})^{N-M} \prod_{k=1}^M (1 - c_k z^{-1})}{\prod_{k=1}^N (1 - p_k z^{-1})}$$

donde

$$c_k = \frac{1 + \zeta_k/\alpha}{1 - \zeta_k/\alpha}, \quad p_k = \frac{1 + s_k/\alpha}{1 - s_k/\alpha} \quad \text{y} \quad G = \beta_0 \alpha^{M-N} \frac{\prod_{k=1}^M (1 - \zeta_k/\alpha)}{\prod_{k=1}^N (1 - s_k/\alpha)}.$$

Nota: La transformación bilineal preserva el orden del sistema (número de polos  $N$ ) pero puede incrementar el número de ceros de  $M$  a  $N$  (cuando  $N > M$ ) añadiendo  $(N - M)$  ceros en  $z = -1$ .

# Diseño de Filtros IIR

## Transformación Bilineal - Ejercicio

Considere el siguiente filtro analógico

$$H_c(s) = \frac{5(s + 2)}{(s + 3)(s + 4)}.$$

Aplicando la transformación bilineal encuentre  $H(z)$  asumiendo que  $\alpha = 1$ .

Solución: El filtro discreto resultante está dado por

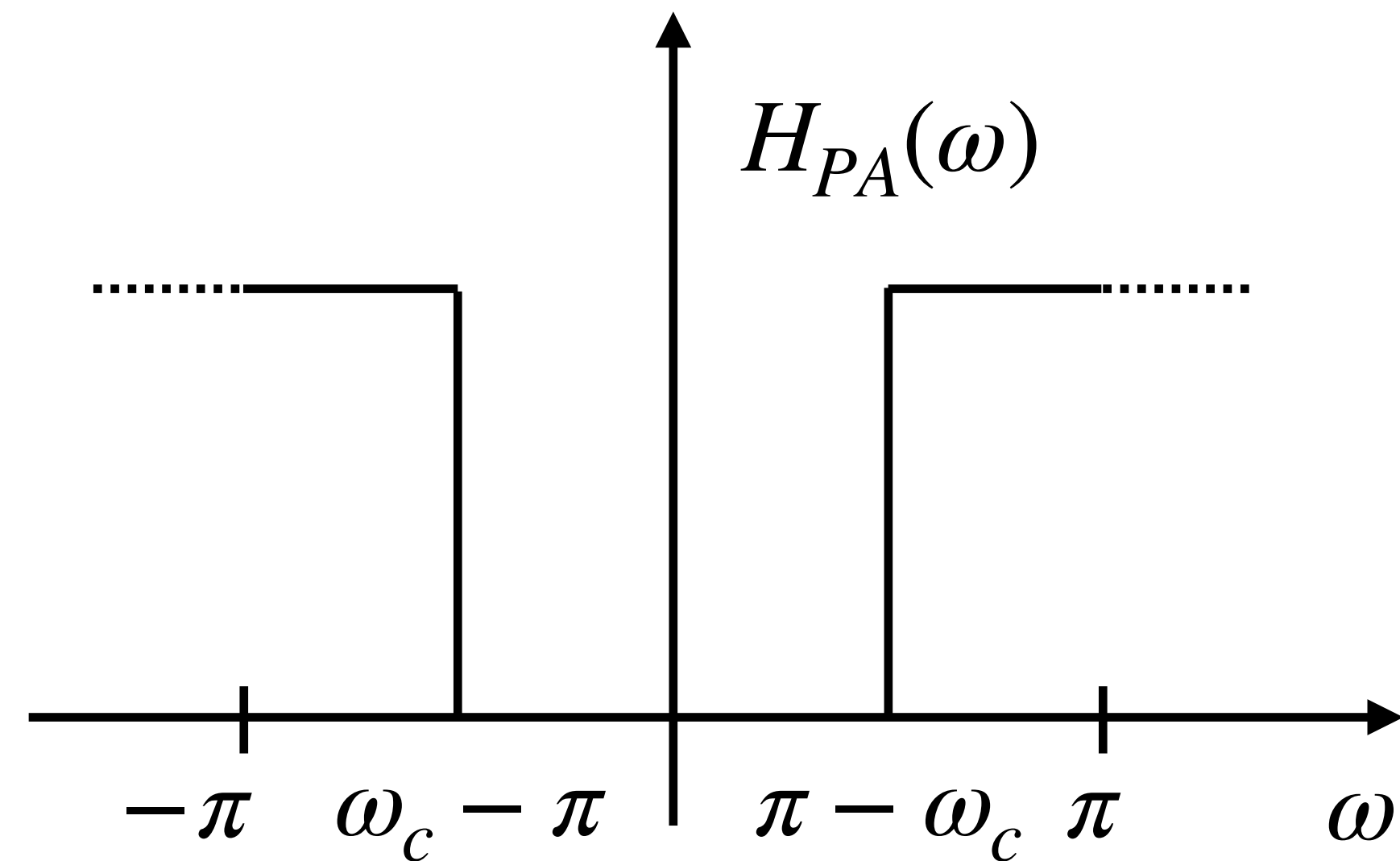
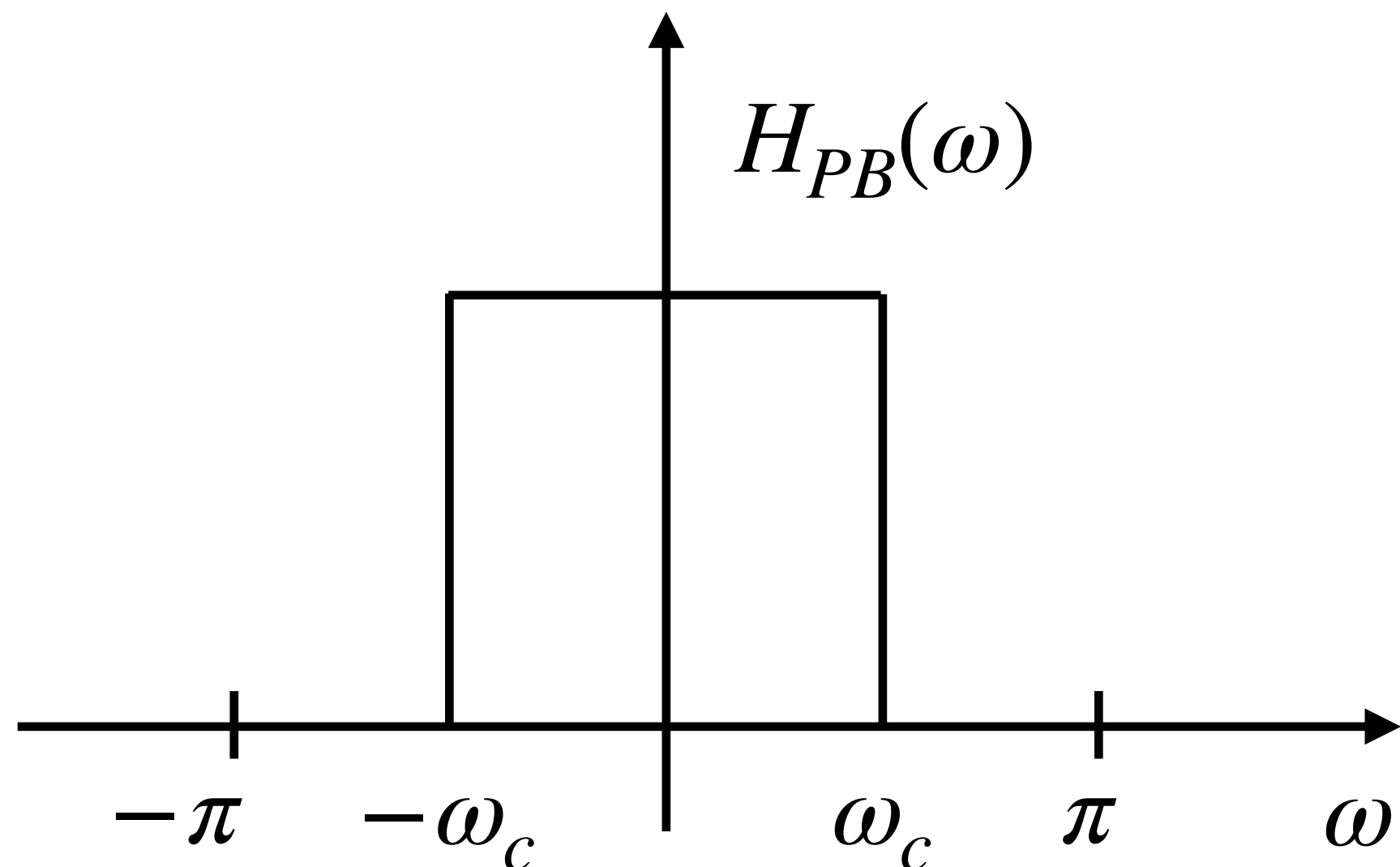
$$H(z) = \frac{3(1 + z^{-1})(1 + \frac{1}{3}z^{-1})}{4(1 + \frac{1}{2}z^{-1})(1 + \frac{3}{5}z^{-1})}.$$

# Diseño de Filtros IIR

## Transformación del eje $\omega$

Dado un filtro pasa bajos  $H_{PB}(z)$ , se puede obtener un filtro pasa altos  $H_{PA}(z)$ , aplicando la siguiente transformación,

$$H_{PA}(z) = H_{PB}(-z) \quad \Rightarrow \quad H_{PA}(\omega) = H_{PB}(\omega + \pi) .$$



**¡Muchas gracias!**